

Original Research Paper

Amphibole crystallization and its role in the origin of the adakitic rocks from the Malayer-Boroujerd igneous complex

Amir Esna-Ashari^{1*} and Massimo Tiepolo²¹Department of Geology, Payame Noor University (PNU), Iran²Department of Earth Sciences, University of Milano, Milano, Italy

ARTICLE INFO*Article history:*

Received: 2022 June 13

Accepted: 2022 September 09

Available online: 2023 March 21

Keywords:

Adakite genesis

Amphibole crystallization

AFC process

Malayer-Boroujerd complex

Sanandaj-Sirjan zone

ABSTRACT

The Malayer-Boroujerd plutonic complex (MBPC) is part of the Sanandaj-Sirjan continental arc of Iran resulted from subduction of Neotethys oceanic crust below Central Iran microcontinent. A number of adakitic samples have recently been reported in the MBPC. This study shows that among the various petrogenetic processes responsible for the formation of adakitic rocks, two have been suggested in the genesis of those from the MBPC. i) interaction of crust-derived magma with ultramafic rocks and ii) crystallization of amphibole from a more basic magma. The former process leads to formation of intermediate to basic magma that subsequently crystallized amphibole in the ultramafic rocks. Amphibole growth was associated with textural and chemical changes toward the rim. Chemical modeling shows that amphibole growth was coeval with assimilation of olivines that their residue are remained as inclusions in the amphibole. The magma that formed the rim of amphiboles had higher Th, Zr, Ta and LREE but lower Ti and HREE than the core-forming magma. Assimilation of olivine during the amphibole growth prevented a decrease in Ni and Co content of the remained magma. Comparable chemistry of the rim-forming melt and MBPC adakitic rocks suggest that they are of the same origin..

1. Introduction

Adakite commonly refers to a rock that mainly formed in subduction zones by melting of subducting oceanic crust previously metamorphosed to amphibolite and eclogite facies (Castillo, 2012). Peculiar of adakites is the high Sr/Y (>20) and La/Yb (>20) ratios (Castillo, 2006). Notwithstanding, in the group of adakitic rocks we can find rocks with comparable chemical features as adakites but formed in arc or even non-arc environments by different petrogenetic processes (Castillo, 2006 and 2012). Two important processes are proposed at the origin of adakitic rocks are: i) interaction of melts derived from the continental or oceanic crust with

peridotites (e.g. Wang et al., 2005), and ii) amphibole crystallization from a primary basaltic melt (e.g. Tiepolo et al., 2011).

Recently, adakitic rocks are identified in the Malayer-Boroujerd Plutonic Complex (MBPC) in the central sector of the Sanandaj-Sirjan zone (Fig. 1). In this paper we discuss the genesis of these rocks. According to Esna-Ashari et al. (2016), a primary acidic melt intruded the ultramafic rocks. Melt-rock interaction process lead to formation of a new liquid that subsequently crystallized amphibole in the ultramafic rocks. In this paper we show that crystallization of amphibole was associated with assimilation of olivine. The final

* Corresponding author: Amir Esna-Ashari; E-mail: amires@pnu.ac.ir

Citation:

Esna-Ashari, A., and Tiepolo, M., 2023. Amphibole crystallization and its role in the origin of the adakitic rocks from the Malayer-Boroujerd igneous complex. Scientific Quarterly Journal, GEOSCIENCES, 33(1), 127, 107-122. <https://doi.org/10.22071/gsj.2022.347030.2006>

E-ISSN: 2645-4963; Copyright©2023 G.S. Journal & the authors. All rights reserved.

doi: 10.22071/gsj.2022.347030.2006

doi: 10.1001.1.10237429.1402.33.1.5.2



This is an open access article under the by-nc/4.0/ License (<https://creativecommons.org/licenses/by-nc/4.0/>)

magma from which amphibole rim crystallized is chemically very similar to MBPC adakitic rocks suggesting that amphibole rims and adakitic rocks have the same origin.

2. General Geology

The Sanandaj-Sirjan Zone (SSZ) of Iran is an active continental arc that resulted from subduction of the Neotethys oceanic crust below the Central Iran continental crust (e.g. Berberian and Berberian, 1981). MBPC is located in the central sector of the SSZ (Zhang et al., 2018). The Aligoodarz plutonic complex is located along the MBPC and in its southeast (Fig. 1b). U-Pb dating of most of the felsic to ultramafic rocks of these complexes revealed crystallization in the Middle Jurassic (Ahmadi Khalaji et al., 2007; Esna-Ashari et al., 2012 and 2016; Deevsalar et al. 2017). Despite rare exposures (Fig. 1b), ultramafic rocks are voluminous in crustal depths. Interaction of felsic magma with ultramafic rocks contributed to formation of the intermediate to mafic rocks in the Aligoodarz and MBPC complexes and also formation of the amphiboles in the ultramafic rocks (Esna-Ashari et al., 2016; Esna-Ashari and Tiepolo, 2020 and 2021).

3. Research methodology

In this study, the role of amphibole crystallization in the formation of adakitic melt has been investigated. Therefore, the zoned amphiboles from the Aligoodarz ultramafic rocks were analyzed from the core to rim to explore the variation of abundance of trace elements. The results of Laser Ablation ICP-MS analyses of amphiboles, which were carried out at the CNR–Istituto di Geoscienze e Georisorse (IGG), UOS of Pavia, Italy, are presented in Table 1.

4. Petrography

The Aligoodarz Ultramafic rocks varies from olivine-hornblende-pyroxenite to olivine-pyroxene-hornblendite. Olivine, pyroxene and amphibole are the major rock forming minerals (Fig. 2). Amphiboles are zoned: cores are brown and gradually changes to light brown and then green toward the rims (Fig. 2b and e). Amphiboles show poikilitic texture and have olivine inclusions. Olivines display rounded and lobate grain boundaries with numerous embayment suggesting assimilation during reaction with the surrounding melt (Fig. 2a-d). Some olivine inclusions are surrounded by both green and brown amphiboles. In such cases, parts of the olivine that are surrounded by the green amphibole are more reacted than the parts that are surrounded by the brown amphibole (Fig. 2a-c).

5. Mineral chemistry

Brown amphiboles are pargasitic but light brown and green ones are edenitic hornblends. Incompatible trace element patterns of brown,

light brown and green amphiboles are displayed in fig.3 Light brown amphiboles are compositionally intermediate between the other two types. Green amphiboles have lowest Ti content. LREE and HREE are more abundant in green and brown amphiboles respectively. Therefore, LREE/HREE ratio increases from brown amphibole ($\text{La/Yb}_N=1.1$) to light brown amphibole ($\text{La/Yb}_N=2.0$) and then to green amphibole ($\text{La/Yb}_N=8.1$). In the binary variation diagrams a gradual compositional variation observes from the core towards the rim. La, Ce, Zr, Hf, Ni and Co show an increasing trend, while Yb, Y and Ti show a decreasing trend (Fig. 4).

6. Discussion and conclusion

Chemical composition of the melt in equilibrium with green amphibole has been calculated by using (i) partition coefficients of amphibole (Tiepolo et al., 2007) and (ii) the chemical composition of the green amphiboles represented in Table 1. N-MORB normalized incompatible trace element pattern of this melt show negative Nb anomaly and high LREE/HREE ratio typical of arc magmas. By the same way Esna-Ashari et al. (2016) calculated composition of the melt in equilibrium with brown amphibole and showed origination by interaction of a felsic melt with ultramafic rock.

Compositional variation from brown to green amphiboles can be attributed to the variation of chemical composition of the equilibrium melts during amphibole growth. Fractional crystallization modeling shows that amphibole crystallization can explain the observed changes in chemistry of the equilibrium melts (Fig. 6). The exceptions are variations of compatible elements Ni and Co because despite the expectation they are not decreased toward the rim.

Petrographic observations (Fig. 2) suggest assimilation of olivine during amphibole crystallization. Olivine assimilation can buffer the content of Ni and Co in the remained melt because they are very abundant in the olivine. Considering the melt in equilibrium with the average brown amphibole as the starting composition and olivine as the assimilated material, the Assimilation and Fractional Crystallization process (AFC) can explain the variation of Ni and Co in the amphibole (Fig. 7).

The melt in equilibrium with green amphibole that is the final product of the AFC process is chemically very similar to MBPC adakitic rocks suggesting that adakitic rocks and green amphibole have the same origin (Fig. 5). This genetic process of a melt with adakitic signature is comparable to what is proposed for the origin of the adakitic melts from Adamello Batholith in central Alps (Tiepolo et al., 2011).

A well-known way to distinguish adakites from other magmatic arc rocks is to use Sr/Y vs. Y diagram (Fig. 8). In this diagram, the melts in equilibrium with different parts of amphiboles in addition to the MBPC adakitic rocks are plotted. There is a continuous trend

from brown to green amphiboles. The latter have a composition comparable to MBPC adakitic rocks.

Figure 9 summarizes the processes that contributed to formation of the MBPC adakitic rocks. Melt-rock interaction process lead to crystallization of brown amphibole. The remaining magma continued to crystallize amphibole and simultaneously assimilated olivine to produce a melt chemically comparable to adakitic rocks. Some MBPC adakitic rocks are characterized by low content of SiO_2 (~55%) but high Mg# (~54). According to Castillo (2012), adakitic rocks with these chemical features are

similar to high-Mg andesites of boninitic and sanukitoid types. Interaction of a primary melt with ultramafic rock is a process that can play an important role in the formation of these high-Mg andesites (Tiepolo et al., 2011; Castillo, 2012). Previous studies in the central sector of the SSZ have shown occurrence of boninitic ultramafic rocks (Esna-Ashari et al., 2016) and their role in the formation of sanukitoids (Esna-Ashari and Tiepolo, 2020). This study showed that how ultramafic rocks have played a role in the formation of another type of high-Mg andesites, i.e. adakitic rocks.

تبلور آمفیبیول و نقش آن در شکل‌گیری سنگ‌های آداسیتی مجموعه آذرین ملایر-بروجرد

امیر اثنی عشری^{۱*} و ماسیمو قیه‌بولو^۲^۱ گروه زمین‌شناسی، دانشگاه پیام نور، تهران، ایران^۲ گروه علوم زمین، دانشگاه میلان، میلان، ایتالیا

چکیده

نوار سنتدج-سیرجان کمان قاره‌ای فعالی است که حاصل فرورانش پوسته اقیانوسی نوتیسیس به زیر ایران مرکزی است و میزان مجموعه آذرین ملایر-بروجرد است. به تازگی در این مجموعه نمونه‌هایی با ویژگی سنگ‌های آداسیتی گزارش شده است. مطالعه پیش رو نشان می‌دهد که از فرایندهای پتروژئنیکی مختلفی که برای تشکیل سنگ‌های آداسیتی پیشنهاد شده دو فرایند در تشکیل سنگ‌های آداسیتی این مجموعه نقش داشته است. ۱) برهم کنش ماقمای مشتق از پوسته با سنگ‌های الترامافیک؛ ۲) تبلور آمفیبیول از یک ماقمای مافیک تر. به نظر می‌رسد ماقمای با منشاً پوسته‌ای پس از نفوذ به سنگ الترامافیک و برهم کنش با آن، بلورهای آمفیبیول را درون سنگ الترامافیک متبلور کرده است. رشد آمفیبیول با تغییرات بافتی و شیمیابی به سمت حاشیه بلور همراه است. مدل‌سازی شیمیابی نشان داد که رشد آمفیبیول با هضم الیون همراه است. بخش‌های باقیمانده الیون‌های هضم شده به صورت ادخال درون آمفیبیول دیده می‌شود. تبلور آمفیبیول باعث افزایش کاوش Ni و Co شده است. ترکیب شیمیابی مذاب در تعادل با آمفیبیول حاشیه‌ای (شدت) شده است. هضم الیون هم مانع تشکیل دهنده آمفیبیول حاشیه‌ای همان مذاب آداسیتی است.

اطلاعات مقاله

تاریخچه مقاله:

تاریخ دریافت: ۱۴۰۱/۰۳/۲۳

تاریخ پذیرش: ۱۴۰۱/۰۶/۱۸

تاریخ انتشار: ۱۴۰۲/۰۱/۰۱

کلیدواژه‌ها:

پتروژئن آداسیت

تبلور آمفیبیول

فرایند AFC

مجموعه ملایر-بروجرد

نوار سنتدج-سیرجان

۱- پیش‌نوشتار

پوسته اقیانوسی فرورونده و برهم کنش مذاب حاصل با پریدوتیت‌های گوشه‌ای (Yogodzinski and Kelemen, 1998؛ ب) ذوب‌بخشی پوسته سبز زیرین (Atherton and Petford, 1993; Yumul et al., 2005) و (پ) نفوذ پوسته زیرین چگال به درون گوشه و برهم کنش مذاب حاصل از آن با پریدوتیت‌های گوشه‌ای (Qu et al., 2004; Wang et al., 2005) و (ت) تبلور بخشی گارنت (Castillo, 2012) یا آمفیبیول از یک ماقمای اولیه بازالتی (Tiepolo et al., 2011).

موارد یادشده نشان می‌دهند که در بسیاری از موقع برهم کنش مذاب‌های مشتق از پوسته (قاره‌ای یا اقیانوسی) با سنگ‌های پریدوتیتی و همچنین تبلور بخشی مذاب اولیه بازالتی نقش مهمی در تشکیل سنگ‌های آداسیت دارد. به تازگی سنگ‌هایی با ماهیت آداسیت در مجموعه آذرین ملایر-بروجرد در بخش میانی نوار سنتدج-سیرجان شناسایی شده است (شکل ۱- a, b) و بر اساس مطالعات ژئوشیمیابی سنگ کل، دو احتمال برای مشتاً آنها در نظر گرفته شده است که عبارتند از ۱- ذوب بخشی پوسته مافیک زیرین؛ ۲- تبلور بخشی یک ماقمای اولیه بازیکتر (Zhang et al., 2018). اما در رابطه با نقش احتمالی سنگ‌های الترامافیک در زنر آنها مطالعه‌ای انجام شده است. در این نوشتار به دلیل سعی شده است که نقش سنگ‌های الترامافیک مورد بررسی قرار گیرد.

آداسیت‌ها سنگ‌های آذرینی هستند که مطالعه آنها نقش قابل توجهی در شناخت ما از چگونگی شکل‌گیری و تحولات درونی پوسته زمین دارد (Rollinson and Martin, 2005; Castillo, 2012). واژه آداسیت اولین بار توسط دیفات و دراموند (Defant and Drummond, 1990) مورد استفاده قرار گرفت و در اصل سنگ‌های آذرین درونی یا بیرونی هستند که $\text{SiO}_2 \geq 56\text{wt}\%$ و $\text{Y} \leq 18\text{ppm}$ و همچنین HFSE (High Field Strength Elements) در آنها پایین است. مهمترین ویژگی این سنگ‌ها بالا بودن نسبت‌های $\text{Sr/Y} > 20$ و $\text{La/Yb} > 20$ است (Castillo, 2006). معمولاً آداسیت‌ها در نواحی فروروندهای هستند که تا حد تشکیل می‌شوند و حاصل ذوب پوسته اقیانوسی فروروندهای هستند که تا حد رخسارهای آمفیبیولیت و اکلوژیت دیگرگون شده است (Castillo, 2012). اما سنگ‌هایی اورگانی و همکاران، (۱۳۹۸). اما سنگ‌های دیگری نیز وجود دارند که ویژگی‌های شیمیابی مشابه با آداسیت‌ها دارند ولی در محیط‌های غیر از فرورانش پیچیدگی مطالعات این سنگ‌ها شده است. برای سنگ‌های دسته دوم به جای آداسیت از واژه سنگ‌های آداسیت استفاده می‌شود (Castillo, 2006 and 2012). فرایندهایی که منجر به تشکیل سنگ‌های آداسیت می‌شوند عبارتند از (الف) ذوب

* نویسنده مسئول: امیر اثنی عشری؛ E-mail: amires@pnu.ac.ir

مأخذنگاری:

اثنی عشری، ا. و قیه‌بولو، م.، ۱۴۰۲، تبلور آمفیبیول و نقش آن در شکل‌گیری سنگ‌های آداسیتی مجموعه آذرین ملایر-بروجرد. فصلنامه علمی علوم زمین، ۳۳ (۱)، ۱۰۷-۱۲۲.

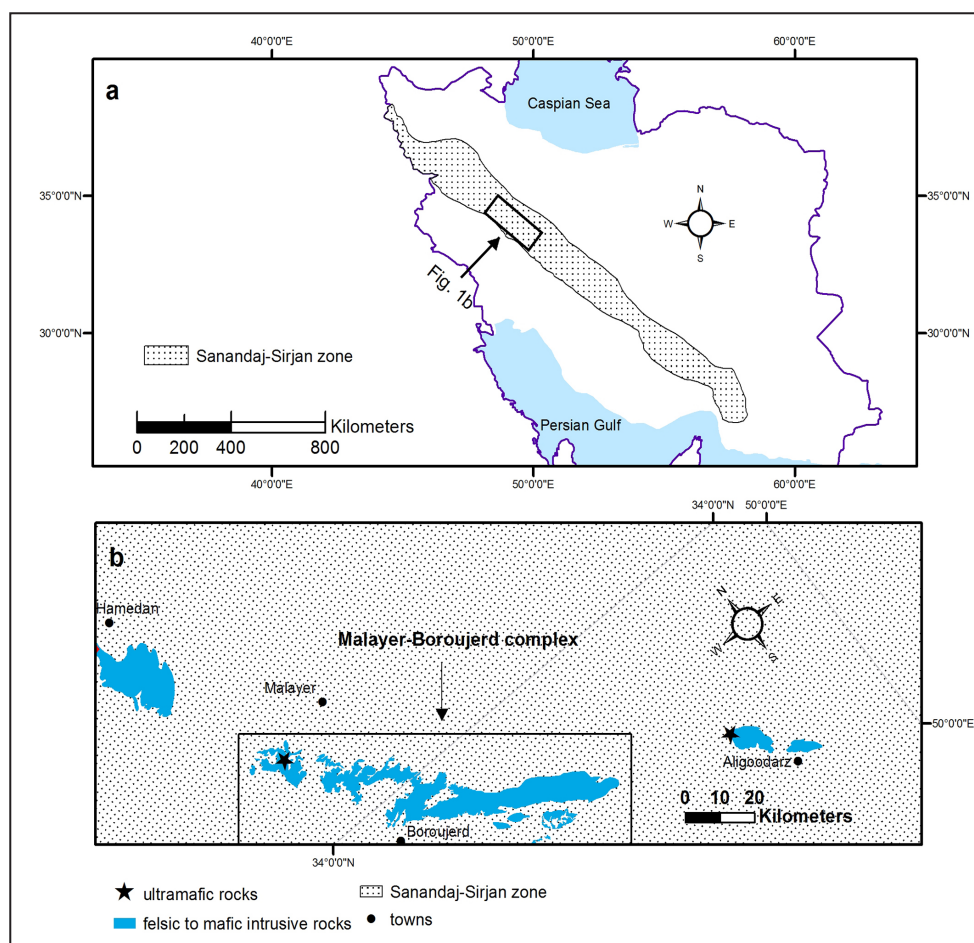
<https://doi.org/10.22071/gsj.2022.347030.2006>

حقوق معنوی مقاله برای فصلنامه علوم زمین و نویسنده‌گان مقاله محفوظ است.

۲- زمین‌شناسی عمومی

نوار سنتنگ - سیرجان کمان قاره‌ای فعالی بوده است که نتیجه فرورانش پوسته اقیانوسی نتویس به زیر پوسته قاره‌ای ایران مرکزی (e.g. Berberian and Berberian, 1981) می‌باشد. این نوار بیشتر از سنگ‌های دگرگونی ناحیه‌ای تشکیل شده است که توده‌های آذرین با ویژگی مناطق کمان درون آنها نفوذ کرده است. مجموعه‌های آذرین عمدتاً از نوع گرانیتوییدی هستند و سپس انواع حدوداً (دبوریت، کوارتزدبوریت) و مافیک (گابرو) و به مقدار بسیار کم سنگ‌های الترامافیک (گابرو، پپروکسینت و هورنبلنیت) فراوانی‌های بعدی را به خود اختصاص داده‌اند (Ahmadi Khalaji et al., 2007; Esna-Ashari et al., 2012 and 2016; Deevsalar et al., 2017). به طور قراردادی این نوار به سه بخش شمالی، میانی و جنوبی تقسیم شده است و مجموعه آذرین ملایر - بروجرد در بخش میانی آن واقع شده است (Zhang et al., 2018). مجموعه آذرین الیکودرز هم در امتداد این مجموعه و در جنوب خاوری آن قرار گرفته است (شکل ۱-۱).

دلیل اول اهمیت سنگ‌های الترامافیک در زئز برخی از انواع سنگ‌های آداسیتی است (Yogodzinski and Kelemen, 1998; Qu et al., 2004; Wang et al., 2005) دلیل دوم پیشینه مطالعاتی است که در گذشته در بخش میانی نوار سنتنگ میانی نواحی سیستان و بلوچستان و نقش سنگ‌های الترامافیک را حدوداً مشخص ساخته است (Esna-Ashari et al., 2016; Esna-Ashari and Tiepolo, 2020 and 2021). برای بررسی نقش سنگ‌های الترامافیک، از داده‌های شیمیایی آمفیبول در تحلیلات پوسته زمین به ویژه در نواحی کمان ماسکمایی و همچنین نقش مهم آمفیبول در تحولات حاصل نشان می‌دهد که یک مذاب آداسیتی شده است. دلیل استفاده از کانی آمفیبول نیز اهمیت آن در شکل‌گیری مذاب آداسیتی و همچنین نفوذ کرده است و در حین تبلور آمفیبول، بلورهای الیون موجود در سنگ الترامافیک را هم در خود هضم کرده است. نتیجه این فرایند تشکیل مذاب جدیدی بوده که به تشکیل سنگ‌های آداسیتی منجر شده است.



شکل ۱-۱) نقشه ایران که موقعیت نوار سنتنگ - سیرجان و محلوده مورد مطالعه در آن مشخص شده است؛ (b) نقشه زمین‌شناسی ساده با مقیاس بزرگ‌تر که موقعیت مجموعه‌های ملایر - بروجرد و الیکودرز در آن مشخص شده است (اقتباس از آقانباتی، ۱۳۷۰). محل رخمنون سنگ‌های الترامافیک به اقتباس از اثنتی‌عشری و همکاران (2016) و دیوسلار و همکاران (2017) می‌باشد.

Figure 1. a) Map of Iran showing the location of the Sanandaj-Sirjan zone and the Malayer-Boroujerd plutonic complex; b) A simplified geological map showing the locations of the Malayer-Boroujerd and Aligoodarz complexes (After Aghanabati, 1990). Locations of the outcrops of the ultramafic rocks are after Esna-Ashari et al. (2016) and Deevsalar et al. (2017).

حدواسط کوارتزدیوریتی با طبیعت ساناکیتوییدی در مجموعه الیگودرز بوده است (Esna-Ashari and Tiepolo, 2020). توضیح این که یکی از راه‌های تشکیل ساناکیتوییدها برهم کنش ماقمای پوسته‌ای با سنگ‌های الترامافیکی است که طی فرایندهای کوهزایی درون پوسته زمین جایگزین شده‌اند (Qian and Hermann, 2010). با تبلور بخشی ماقمای ساناکیتوییدی، برهم کنش با سنگ الترامافیک هم تداوم داشته است و در نهایت سبب تشکیل طیف متنوعی از سنگ‌های حدواسط تا مافیک در مجموعه‌های آذربین الیگودرز، بروجرد و ملایر شده است (Esna-Ashari and Tiepolo, 2020).

۳- روش پژوهش

در این مطالعه سعی شده است تا با مطالعه شیمیابی بلورهای آمفیبیول در سنگ‌های الترامافیک الیگودرز، نقش تبلور آمفیبیول در شکل‌گیری مذاب آدکیتی مورد بررسی قرار گیرد. به همین منظور و به جهت بررسی تغییرات فراوانی عناصر کمیاب در بلورهای آمفیبیول، تعدادی از این بلورها از مرکز Laser Ablation ICP-MS آنالیز شدند. نتایج آنالیزهای آنالیزهای آمفیبیول‌ها که در مؤسسه تحقیقات ملی ایتالیا به انجام رسیده است، در جدول ۱ آرائه شده است.

بخش بیشتر تمامی این مجموعه‌ها در ژوراسیک میانی متبلور شده‌اند. بسیاری از تودهای گرانیتوییدی در بخش میانی این نوار هم منشأ بوده و از ذوب سنگ‌های پوسته قاره‌ای حاصل شده‌اند (Esna-Ashari et al., 2012). مطالعات گذشته نشان داده است که سنگ‌های اثنه عشری و حسن‌زاده، ۱۳۹۳). مطالعات میانی بر اثر برهم کنش ماقمای فلیسیک با سنگ‌های حدواسط و مافیک بخش میانی بر اثر برهم کنش ماقمای فلیسیک با سنگ‌های الترامافیک حاصل شده‌اند و سنگ‌های الترامافیک علی‌رغم این که رخمنون بسیار کمی در سطح زمین دارند و تنها در مجموعه آذربین الیگودرز و ملایر دیده شده‌اند اما بخش قابل توجهی از ژرفاهای پوسته را تشکیل می‌دهند و نقش مهمی در تشکیل ماقمای حدواسط تا مافیک داشته‌اند (Esna-Ashari et al., 2016; Esna-Ashari and Tiepolo, 2020 and 2021).

البین، پیروکسن و آمفیبیول کانی‌های اصلی تشکیل‌دهنده سنگ‌های الترامافیک هستند. مطالعات سنگ‌نگاری و شیمیابی نشان داده است که ماقمای فلیسیک درون سنگ الترامافیک نفوذ کرده و با آن برهم کنش داشته است. این برهم کنش باعث تغییر ترکیب ماقمای فلیسیک به سمت ماقمای بازیک شده است. آمفیبیول‌های موجود در سنگ الترامافیک از این ماقمای جدید متبلور شده‌اند (Esna-Ashari et al., 2016). بنابراین آمفیبیول‌ها منشأ متفاوتی داشته و در تعادل با دیگر کانی‌های سنگ الترامافیک نیستند. از دیگر محصولات این برهم کنش تشکیل ماقمای

جدول ۱- ترکیب شیمیابی آمفیبیول‌ها که به تفکیک از بخش مرکزی (G=Green)، میانی (B=Brown) و حاشیه (LB=Light Brown) آنها به روش آنالیز شده‌اند. فراوانی عناصر بر حسب واحد ppm است

Table 1. Trace elements composition (ppm) from core to rim of amphibole grains. B=Brown; LB=Light Brown; G=Green

| Element | core | | | transitional zone | | | rim | |
|---------|-------|-------|-------|-------------------|-------|-------|-------|-------|
| | B | B | B | LB | LB | LB | G | G |
| Li | 1.36 | 1.83 | 1.18 | 2.03 | 1.65 | 2.08 | 2.75 | 3.14 |
| Sc | 71.7 | 96.0 | 96.7 | 55.9 | 74.1 | 41.7 | 25.9 | 23.5 |
| Ti | 14710 | 17053 | 16916 | 5557 | 15176 | 2320 | 934 | 516 |
| V | 426 | 293 | 285 | 364 | 428 | 226 | 122 | 79.2 |
| Cr | 5639 | 5890 | 6620 | 4994 | 5453 | 2020 | 1192 | 1211 |
| Co | 54.7 | 54.5 | 54.3 | 63.1 | 54.1 | 57.2 | 61.6 | 59.3 |
| Ni | 580 | 570 | 563 | 532 | 602 | 584 | 703 | 664 |
| Zn | 37.3 | 41.0 | 42.9 | 64.5 | 38.5 | 39.6 | 29.0 | 33.6 |
| Rb | 3.41 | 4.09 | 3.79 | 0.474 | 3.36 | 2.22 | 2.29 | 1.22 |
| Sr | 70.3 | 68.9 | 69.2 | 58.2 | 73.1 | 45.9 | 41.8 | 59.3 |
| Y | 68.4 | 87.9 | 91.4 | 46.2 | 67.2 | 55.5 | 30.8 | 14.6 |
| Zr | 85.6 | 91.1 | 88.5 | 114 | 76.8 | 189 | 178 | 238 |
| Nb | 16.0 | 12.3 | 10.0 | 11.2 | 15.6 | 25.8 | 24.1 | 13.4 |
| Cs | 0.025 | bdl | 0.006 | bdl | 0.031 | 0.003 | 0.057 | 0.027 |
| Ba | 44.1 | 46.0 | 45.5 | 5.45 | 47.4 | 18.7 | 14.6 | 12.3 |
| La | 13.7 | 12.2 | 11.3 | 13.9 | 12.1 | 25.7 | 25.6 | 40.5 |
| Ce | 51.2 | 47.0 | 45.9 | 45.4 | 45.2 | 94.9 | 89.4 | 107 |
| Pr | 8.87 | 8.37 | 8.36 | 6.70 | 8.36 | 13.6 | 11.6 | 10.6 |
| Nd | 46.4 | 47.3 | 47.0 | 32.2 | 43.6 | 58.9 | 43.7 | 29.1 |

ادامه جدول ۱

Continued. table. 1

| Element | core | | | transitional zone | | | rim | |
|----------------------------------|-------|-------|-------|-------------------|-------|-------|-------|-------|
| | B | B | B | LB | LB | LB | G | G |
| Sm | 12.7 | 15.2 | 15.0 | 9.67 | 12.2 | 12.3 | 7.13 | 3.05 |
| Eu | 1.46 | 1.54 | 1.31 | 0.844 | 1.52 | 1.56 | 1.30 | 1.12 |
| Gd | 13.2 | 15.6 | 15.2 | 8.06 | 14.5 | 10.1 | 5.66 | 2.20 |
| Tb | 2.18 | 2.66 | 2.84 | 1.31 | 1.99 | 1.60 | 0.792 | 0.317 |
| Dy | 13.1 | 18.2 | 19.0 | 8.93 | 13.6 | 9.15 | 4.92 | 2.27 |
| Ho | 2.71 | 3.67 | 3.58 | 1.78 | 2.59 | 1.90 | 0.947 | 0.413 |
| Er | 7.04 | 9.80 | 9.60 | 4.48 | 6.74 | 5.69 | 3.29 | 1.65 |
| Tm | 1.10 | 1.18 | 1.34 | 0.637 | 0.871 | 0.799 | 0.573 | 0.281 |
| Yb | 6.72 | 8.03 | 8.79 | 5.14 | 6.58 | 6.21 | 3.66 | 2.05 |
| Lu | 0.846 | 1.03 | 1.17 | 0.721 | 0.830 | 0.799 | 0.516 | 0.352 |
| Hf | 3.71 | 3.92 | 4.35 | 4.53 | 3.60 | 8.36 | 6.60 | 6.56 |
| Ta | 0.864 | 0.628 | 0.647 | 0.878 | 0.857 | 1.47 | 1.48 | 1.30 |
| Pb | 1.49 | 0.964 | 1.01 | 1.31 | 1.37 | 0.993 | 1.27 | 1.36 |
| Th | 0.325 | 0.316 | 0.347 | 1.87 | 0.397 | 0.711 | 0.943 | 1.47 |
| U | 0.099 | 0.071 | 0.068 | 0.683 | 0.119 | 0.270 | 0.426 | 0.657 |
| bdl=below detection limit | | | | | | | | |

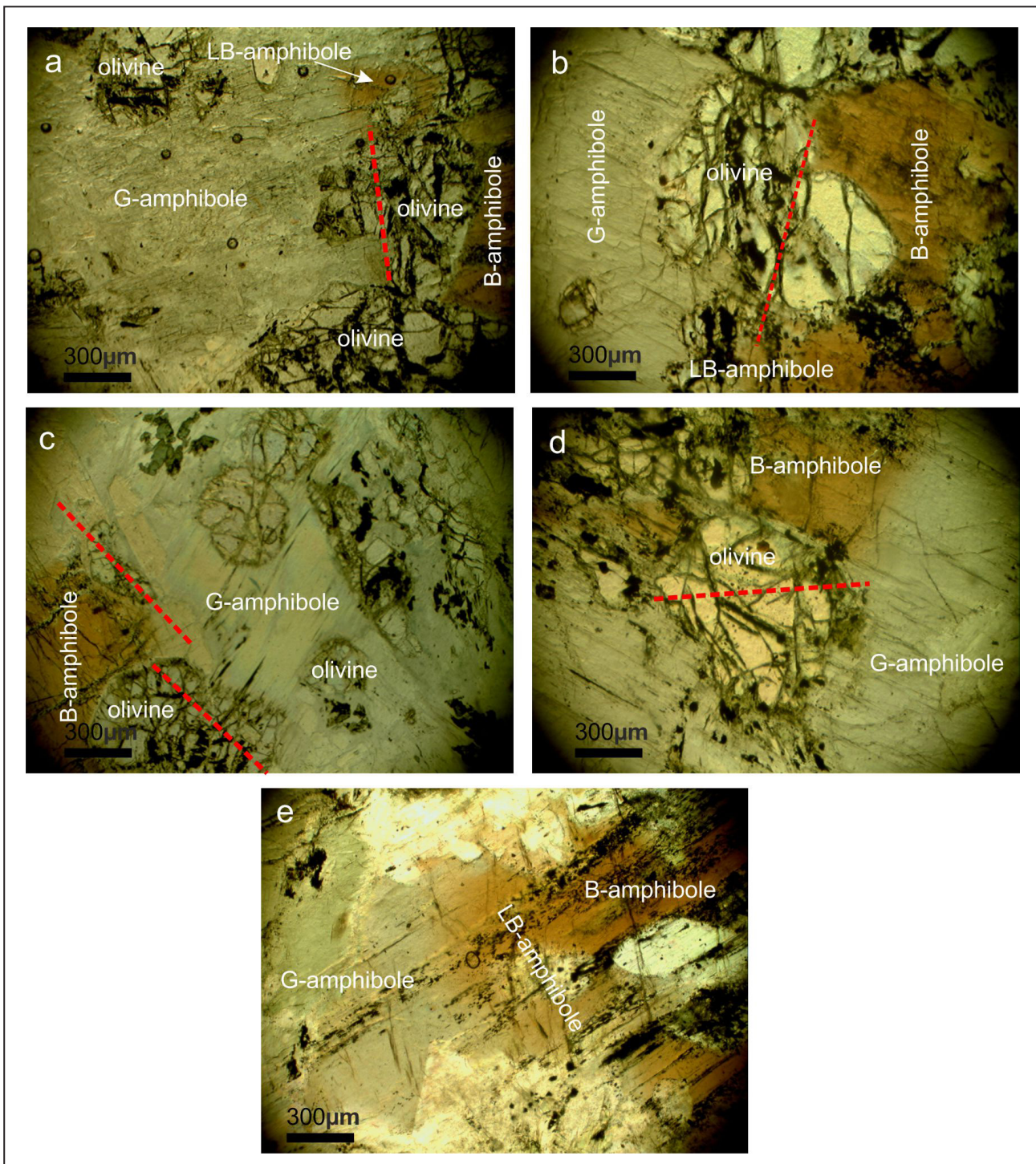
سیز قرار دارد در مقایسه با بخشی که درون آمفیبیول قهوهای قرار دارد، در صد هضم شدگی بیشتری دارد (شکل ۲-۲). (a, b, c, d).

۵- شیمی کانی‌ها

آمفیبیول‌های قهوهای از نوع پارگازیت و انواع قهوهای روشن و سیز، ادنیت هستند. ترکیب میانگین هر یک از آمفیبیول‌های قهوهای، قهوهای روشن و سیز در نمودارهای چند عنصری نمایش داده شده است (شکل ۳). همانطور که ملاحظه می‌شود آمفیبیول‌های سیز در مقایسه با دیگر آمفیبیول‌ها از Ti تهی هستند. فراوانی عنصر LREE در آمفیبیول‌های سیز و عنصر HREE در آمفیبیول‌های قهوهای بیشتر است. همین ویژگی باعث شده تا نسبت LREE/HREE از آمفیبیول قهوهای (La/Yb_N=2.0) به سمت آمفیبیول قهوهای روشن (La/Yb_N=1.1) و سپس آمفیبیول سیز (La/Yb_N=8.1) یک روند افزایشی باشد. به طور کلی می‌توان از لحاظ ترکیبی آمفیبیول‌های قهوهای روشن را حد واسطه دو نوع دیگر در نظر گرفت. به منظور نمایش بهتر این ویژگی، تغیرات فراوانی عنصر کمیاب در بخش‌های مختلف آمفیبیول در نمودارهای دو متغیره نشان داده شده است (شکل ۴). همان طور که ملاحظه می‌شود یک تغییر ترکیب تدریجی از بخش‌های مرکزی به سمت حاشیه بلور دیده می‌شود. از مرکز به سمت حاشیه عنصر Co و La, Ce, Zr, Hf, Ni و روند افزایشی ولی Yb و Ti روند کاهشی دارند.

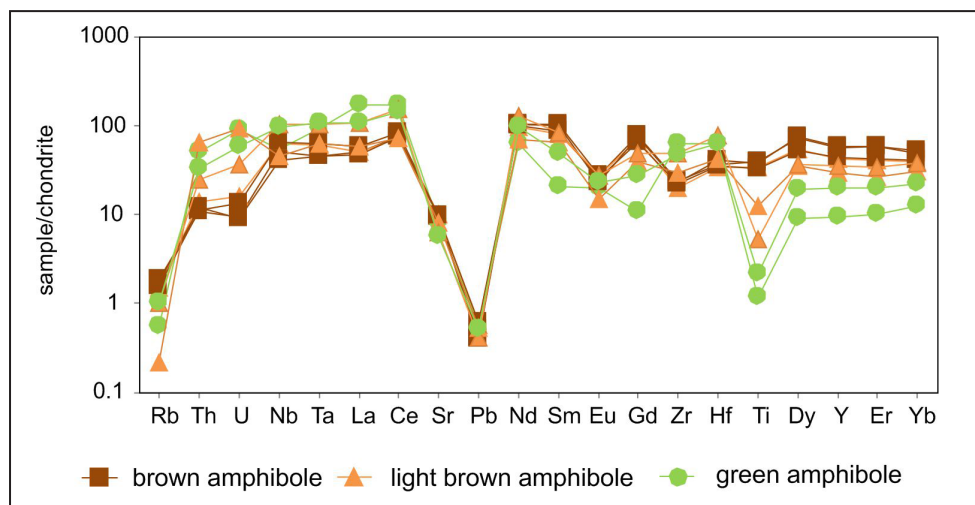
۴- سنگ‌نگاری

سنگ‌های الترامافیک مجموعه الیگودرز به شدت دگرسان شده‌اند. دانه متوسط تا دانه درشت بوده و ترکیب آنها از الیوین هورنبلند پیروکسینت تا الیوین پیروکسن هورنبلنیدت در تغییر است. کانی‌های فرعی نیز شامل اسپینل، میکا و پلازیوکلاز است. با توجه به اهمیت آمفیبیول‌ها در این مطالعه، به ویژگی‌های بافتی آنها اشاره می‌شود. یکی از ویژگی‌های آمفیبیول‌ها بافت پوییکلیتیک آنها و دارا بودن میانبارهای الیوین است (شکل ۲). میانبارهای الیوین به صورت گرد شده بوده و دارای خلیج خوردگی (embayment) هستند (شکل ۲-۲). در آمفیبیول‌هایی که فراوانی میانبارهای الیوین زیاد است، گاه دیده می‌شود که تمامی الیوین‌هایی که مجزا از هم هستند، دارای جهت بلورشناسی یکسانی هستند. این موضوع نشان می‌دهد که این الیوین‌ها قبل از بخش‌های یک بلور واحد بوده‌اند و سپس توسط مذاب تشکیل‌دهنده آمفیبیول هضم و گسیخته شده‌اند. آمفیبیول‌ها دارای منطبق‌بندی هستند. بخش مرکزی قهوهای تیره است و از مرکز به سمت حاشیه به قهوهای روشن و سپس در بخش‌های نزدیک به حاشیه به رنگ سیز روشن تغییر می‌کند (شکل ۲-۲). در اطراف ادخال‌های الیوین نیز هاله نازکی از آمفیبیول‌های سیز قابل مشاهده است. الیوین‌های دانه درشتی در این سنگ‌ها دیده می‌شوند که بخشی از آنها توسط آمفیبیول قهوهای و بخشی دیگر توسط آمفیبیول سیز احاطه شده‌اند. در چنین مواردی، آن بخش که درون آمفیبیول



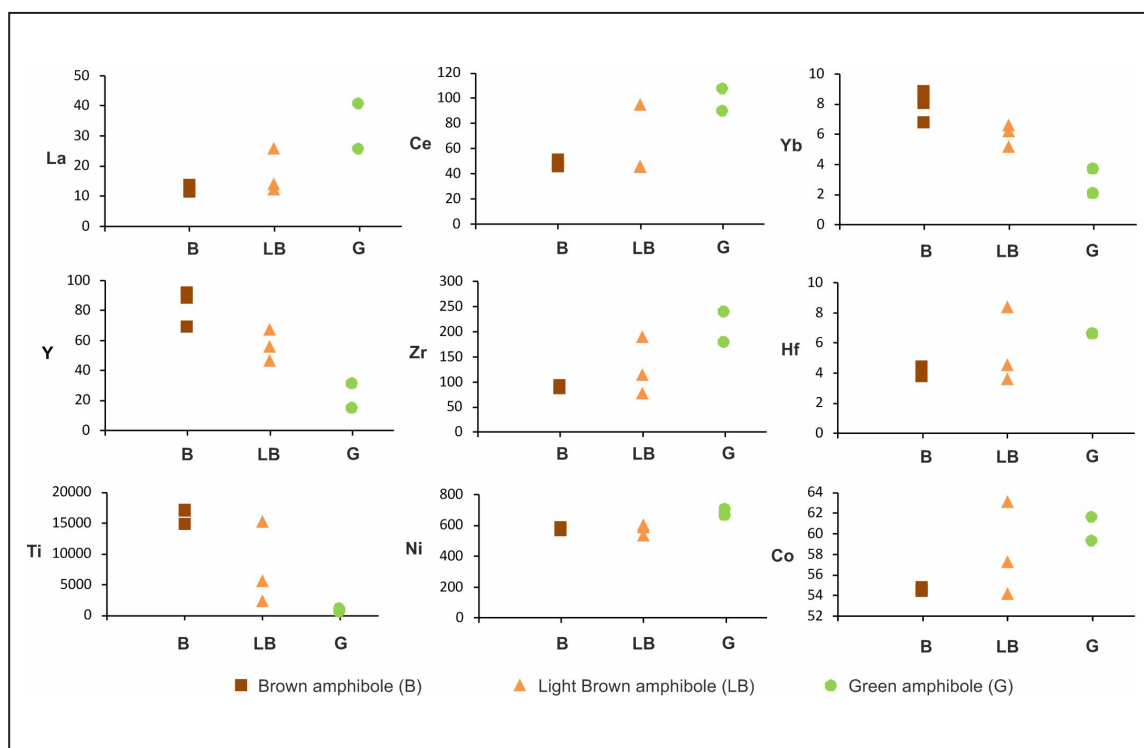
شکل ۲- تصاویر میکروسکوپی که ویژگی های بافتی آمفیبولها را نمایش می دهند. ادخال های زیادی از بلورهای الیون که به طور عمده دارای خلیج خوردگی بوده و شواهد هضم شدگی نشان می دهند در این آمفیبولها دیده می شود (a). آمفیبولها دارای منطقه‌بندی تدریجی بوده و در بخش های مرکزی قهوه ای رنگ هستند و به تدریج به سمت حاشیه به رنگ های قهوه ای روشن و سبز تغییر می کنند (b, c, d). بلورهای الیون تو سط خط چمن های قرمز به دو بخش تقسیم شده‌اند. بخشی که درون آمفیبول قهوه ای و بخشی دیگر که درون آمفیبول سبز قرار گرفته است. بخش هایی از الیون که درون آمفیبول سبز قرار دارند هضم شدگی بیشتری را متحمل شده‌اند. تمامی تصاویر در شرایط نوری PPL تهیه شده‌اند.

Figure 2. Microphotographs showing textural features of amphibole. Many olivine inclusions are characterized by rounded and lobate grain boundaries with numerous embayment (a, b, c and d). The amphiboles show compositional zoning. They are brown in the core and gradually change to light brown and then green towards the rim (a, b and e). Dashed red lines divide the olivines into two parts: i) the part surrounded by brown amphibole and ii) the part surrounded by green amphibole. The latter part displays higher degree of assimilation. All photographs are taken in plane-polarized light. B = Brown; LB = Light Brown; G = Green.



شکل ۳- الگوهای عناصر کمیاب ناسازگار در بلورهای آمفیبول قهوه‌ای روشن و سبز که نسبت به کندریت به هنجار شده‌اند.

Figure 3. Chondrite-normalized incompatible trace element patterns of brown, light brown and green amphiboles.



شکل ۴- نمودارهای دومتغیره تغییرات عناصر کمیاب از مرکز (بخش‌های قهوه‌ای تیره) به سمت حاشیه (بخش‌های قهوه‌ای روشن و سبز) در بلورهای آمفیبول.

Figure 4. Binary diagrams showing variation of abundances of trace elements from core (dark brown color) to rim (light brown and green) of the amphiboles.

مطالعات گذشته نشان داده است که مآگمای در تعادل با آمفیبول قهوه‌ای یا به عبارت دیگر مآگمایی که آمفیبول قهوه‌ای از آن متبلور شده است یک مذاب گرانیتوییدی دما بالا بوده است (Esna-Ashari et al., 2016؛ اثنه‌عشری و سرجوقیان، ۱۳۹۶). این مآگما با سنگ‌های الترامافیک برهم کنش داشته است و همین امر منجر به بالا رفتن فراوانی عناصر Co, Ni در ماگما شده و در نهایت شرایط برای تبلور آمفیبول‌های قهوه‌ای از مآگمای جدید مهیا شده است. رشد آمفیبول قهوه‌ای با تغییر رنگ و تغییر ترکیب شیمیایی همراه بوده است (شکل‌های ۲ و ۴). پیوستگی تغییرات شیمیایی از مرکز به

یکی از مشکلات در رابطه با مطالعات ژئوشیمیایی آن است که شیمی سنگ کل به خوبی ماهیت مآگمای اولیه را نشان نمی‌دهد زیرا معمولاً مآگمای اولیه در یک سیستم باز متبلور می‌شود و ترکیب آن تحت تأثیر فرایندهای تبلور بخشی و یا هضم سنگ‌های اطراف تغییر می‌کند. مطالعه ترکیب شیمیایی کانی‌هایی که از مآگمای اولیه متبلور شده‌اند، تا حد زیادی این مشکل را مرتفع می‌سازد زیرا به کمک آن می‌توان ترکیب شیمیایی مآگمای اولیه‌ای که این کانی‌ها از آن متبلور شده‌اند را تعیین کرد (e.g. Tiepolo et al., 2011).

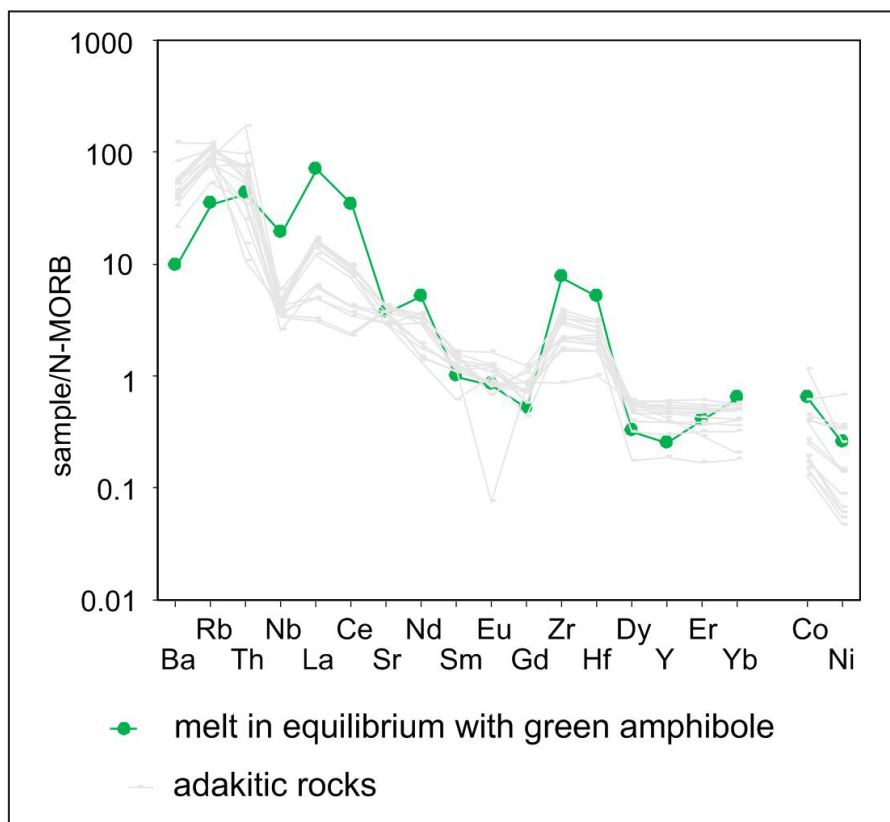
۶- بحث

شده (جدول ۱)، می‌توان ترکیب شیمیایی مذاب در تعادل با آمفیبیول یا به عبارت دیگر مذابی که آمفیبیول از آن متبلور شده است را محاسبه کرد. در گذشته به کمک این روش ترکیب مذاب در تعادل با آمفیبیول‌های قهقهه‌ای محاسبه شد و همانطور که قبل اشاره شد نتایج نشان داد که مگماهای در تعادل با آمفیبیول‌های قهقهه‌ای یک مذاب فلزیک بوده است که با سنگ‌های الترامافیک برهم کنش داشته است (Esna-Ashari et al., 2016). در اینجا هم به روشنی مشابه و به کمک ضرایب تفریق محاسبه شده برای آمفیبیول همراه با روشی مشابه (Tiepolo et al., 2007) ترکیب شیمیایی مذاب در تعادل با آمفیبیول سبز محاسبه شده است (شکل ۵). بی‌هنجاری منفی Nb، بالا بودن نسبت LaREE/HREE از ویژگی‌های بارز این مگما است که مربوط به مناطق کمان مگمایی است.

حاشیه طبیعت زینوکریستی بخش‌های مرکزی را رد کرده و دلیلی بر هم منشاء بدن بخش‌های مختلف بلور است (Dorais and Tubrett, 2008). به عبارت دیگر اگر هسته بلور طبیعت زینوکریستی داشته باشد، ماهیت آن با دیگر بخش‌های بلور متفاوت است و دیگر یک روند شیمیایی پیوسته از مرکز به حاشیه دیده نمی‌شود. در ادامه، روند تحولی مگماهای اولیه با جزئیات بیشتری مورد بررسی قرار می‌گیرد.

۶-۱- روند تحولی مگماهای اولیه

به کمک ضرایب تفریقی که توسط پژوهشگران مختلف برای کانی آمفیبیول محاسبه شده است (Tiepolo et al., 2007) و همچنین ترکیب شیمیایی آمفیبیول‌های آنالیز (e.g.



شکل ۵- نمودار بهنچار شده نسبت به N-MORB که میانگین عناصر کمیاب ناسازگار مذاب در تعادل با آمفیبیول سبز را نشان می‌دهد. سنگ‌های آداسیتی مجموعه ملایر-بروجرد (Zhang et al., 2018) نیز برای مقایسه در این نمودار نمایش داده شده‌اند.

Figure 5. N-MORB normalized incompatible trace element pattern of the melt in equilibrium with average green amphiboles. MBPC adakitic rocks (Zhang et al., 2018) are also shown for comparison.

مهم عدم تطابق روند تغییرات Ni و Co است که با تبلور آمفیبیول قبل توجه نیست. انتظار این است که تبلور آمفیبیول باعث کاهش عناصر سازگار Ni و Co در مگماهای باقیمانده شود ولی برخلاف انتظار، چنین روندی ملاحظه نمی‌شود. بنابراین عامل تأثیرگذار دیگر بوده که مانع از کاهش این عناصر در حین تبلور آمفیبیول شده است. به عبارت دیگر تبلور آمفیبیول در یک سیستم بسته انجام نشده است و فرایند دیگری نیز در تغییر ترکیب مگماهای اولیه نقش داشته است که مانع کاهش Co و Ni در آمفیبیول سبز شده است.

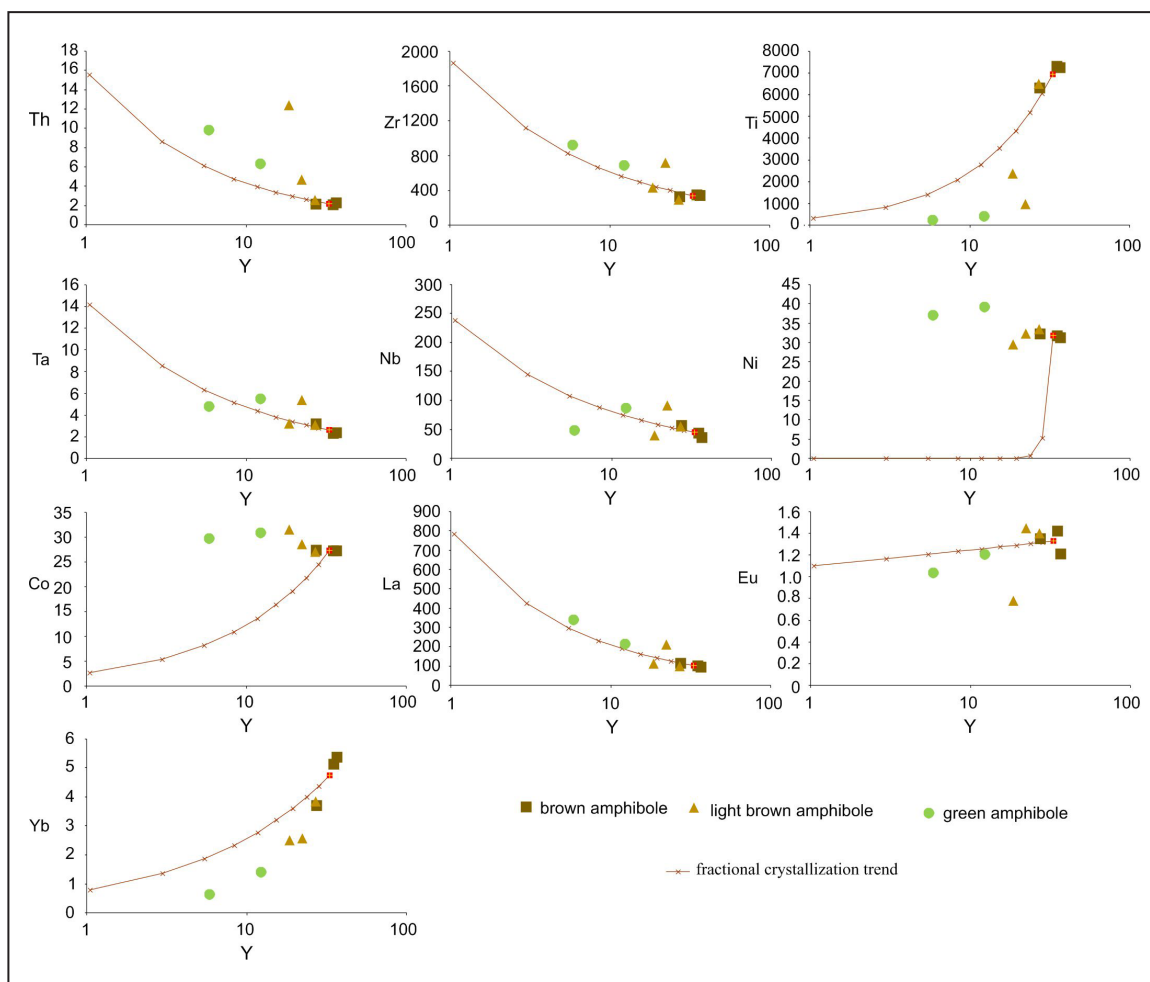
Ni و Co عناصری هستند که فراوانی قابل توجهی در الیوین دارند. همچنین شواهد بافتی به خوبی گویای هضم شدگی الیوین در آمفیبیول است (شکل ۲). الیوین‌های موجود در آمفیبیول سبز نیز هضم شدگی بیشتری نشان می‌دهند (شکل ۲). هضم الیوین نقش تعديل کننده (Buffering) (Buffeting) را در فراوانی Ni و Co در حین تبلور بخشی داشته است. به عبارت دیگر هضم الیوین مانع کاهش این

تغییر ترکیب شیمیایی از آمفیبیول قهقهه‌ای به آمفیبیول سبز که با افزایش LREE, Zr, Hf و همچنین کاهش Ti نسبت داد (شکل ۴). به عبارت دیگر رشد آمفیبیول باعث تغییر ترکیب شیمیایی مگماهای اولیه و در نتیجه تغییر ترکیب شیمیایی آمفیبیول‌های جدیدی شده است که از آن متبلور می‌شوند. برای اطمینان از نقش تبلور آمفیبیول در ایجاد چنین روندهای شیمیایی، از مدل‌سازی فرایند تبلور بخشی استفاده شد. به همین منظور میانگین ترکیب مذاب در تعادل با آمفیبیول قهقهه‌ای به عنوان مذاب مادر در نظر گرفته شد. سپس تغییرات ترکیب شیمیایی مگما که بر اثر تبلور آمفیبیول ایجاد می‌شود مدل‌سازی شد. نتایج به دست آمده در شکل ۶ نشان داده شده است. همان‌گونه که ملاحظه می‌شود روند تغییرات ترکیب شیمیایی مگماهای مدل‌سازی شده (خط منحنی شکل ۲) با تغییرات ترکیب شیمیایی مذاب در تعادل با آمفیبیول‌ها در تطابق است و این موضوع نقش تبلور آمفیبیول را در ایجاد چنین تغییرات شیمیایی تأیید می‌کند. نکته

روندهای مانند تبلور آمفیبول اولیه به گونه‌ای بوده است که میزان R آن در محدوده ۰.۵-۰.۲ تغییر باشد.

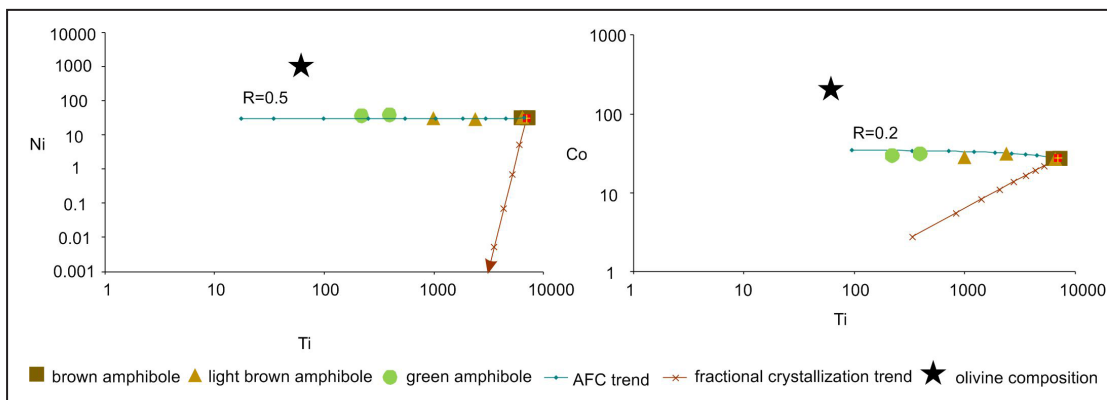
مطالعات گذشته که در بخش میانی نوار سنتدج-سیرجان صورت گرفته هضم الیوین درون سنگ الترامافیک را نشان داده است. اثنه‌عشری و سرجوقیان (۱۳۹۵) با مطالعه شیمی عناصر اصلی کانی‌های موجود در سنگ الترامافیک نشان دادند که هضم الیوین شیمی دیگر کانی‌ها را تحت تأثیر فرار داده است. موارد بسیاری از هضم سنگ‌های الترامافیک توسط مانگماهای کمانی که گستره ترکیبی از e.g. Kelemen et al., 1990; 2010 ترکیبی و باقی که در رابطه با بلورهای آمفیبول در اینجا به آن اشاره شد، شیاهت بسیاری با مشاهدات مربوط به آمفیبول‌های مجموعه با تولیتی آداملو در آلپ مرکزی (شمال ایتالیا) دارد زیرا در هر دو منطقه تبلور آمفیبول با هضم الیوین همراه بوده است (Tiepolo et al., 2011).

عناصر در مانگماهای باقیمانده شده است. به منظور بررسی بیشتر این موضوع فرایند AFC=Assimilation and Fractional Crystallization مدل‌سازی شد. ترکیب مانگمنی مذاب در تعادل با آمفیبول قهقهه‌ای به عنوان مذاب مادر اولیه و ترکیب مانگمنی الیوین‌ها (Esna-Ashari et al., 2016) به عنوان ماده هضم‌شونده در نظر گرفته شد. با توجه به این که فراوانی بسیاری از عناصر کمیاب در الیوین‌ها بسیار پایین است، بنابراین برای این مدل‌سازی فقط از عناصر Ti و Ni، Co که در الیوین‌ها فراوانی قابل قبول دارند استفاده شد. نتایج این مدل‌سازی در شکل ۷ نشان داده است. کاهش Ti به عنوان معیاری برای پیشرفت در تبلور آمفیبول در نظر گرفته شده است. با کاهش Ti، میزان Ni و Co مانگما تقریباً ثابت باقی می‌ماند و همانطور که اشاره شد تبلور بخشی به تهایی قادر به توجیه چنین رفتار شیمیایی نیست ولی فرایند AFC به خوبی آن را توجیه می‌کند. ضریب R (نسبت مواد هضم شده به مواد متبلور شده) برای روند AFC نمودار Ti-Ni معادل ۰.۵ و برای نمودار Ti-Co معادل ۰.۲ در نظر گرفته شده است. پس به نظر می‌رسد که



شکل ۶- نمودارهای دو متغیره که تغییرات Y را نسبت به دیگر عناصر کمیاب در مذاب در تعادل با آمفیبول‌ها نمایش می‌دهند. روندهای منحنی نتیجه مدل‌سازی فرایند تبلور بخشی است و روند تغییرات ترکیب شیمیایی مانگماهای اولیه که بر اثر تبلور آمفیبول ایجاد می‌شود را نشان می‌دهد. برای تعیین نقطه شروع روند، از ترکیب مانگمنی آمفیبول‌های قهقهه‌ای استفاده شده است. طول منحنی‌های مدل‌سازی شده، معادل ۹۰ درصد پیشرفت در تبلور بخشی است و هر بخش آن نیز پیشرفت ۱۰ درصدی را نشان می‌دهد.

Figure 6. Binary variation diagrams showing the variation of Y relative to other trace elements in the melts in equilibrium with brown, light brown and green amphiboles. The curvilinear trends display calculated variation trends produced by fractional crystallization of amphibole. The starting composition corresponds to average composition of the brown amphibole. The length of the trend corresponds to 90% progress in fractional crystallization.



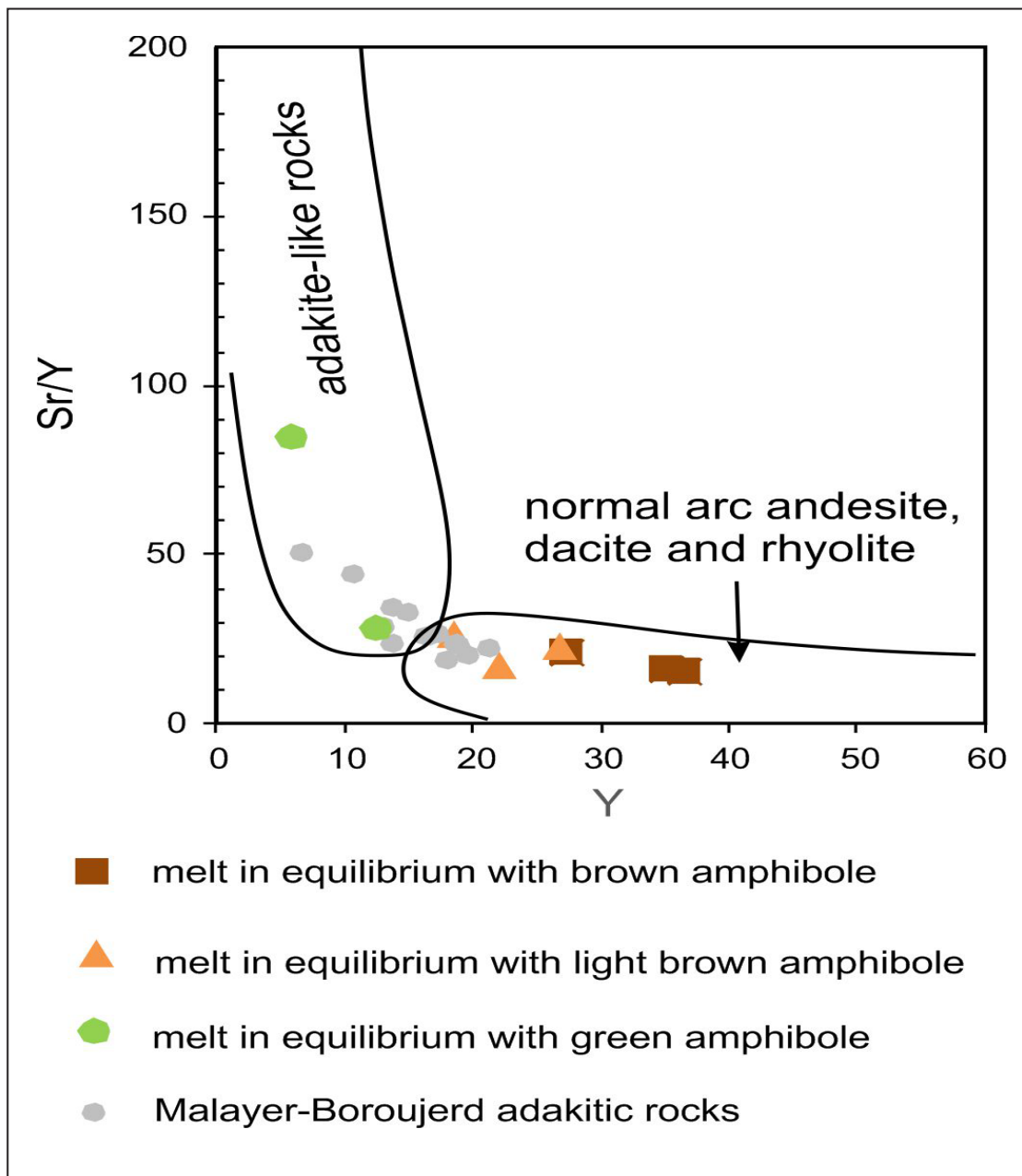
شکل ۷- نمودارهای دو متغیره که تغییرات Ni و Co را نسبت به تغییرات Ti در مذاب در تعادل با بخش‌های مختلف آمفیبول‌های قهقهه‌ای روشن و سیز نشان می‌دهند. همچنین نتایج مدل‌سازی فرایندهای «تبلور بخشی» و «هضم و تبلور بخشی» (AFC) برای مقایسه نشان داده شده است. همانطور که ملاحظه می‌شود تغییر ترکیب ماقمایی اولیه با فرایند AFC در تطابق است. طول منحنی‌ها، پیشرفت ۹۰ درصدی هر یک از فرایندهای تبلور بخشی و AFC را نشان می‌دهد (به استثنای طول روند تبلور بخشی نمودار Ni-Ti که معادل ۵۰ درصد پیشرفت است) و هر بخش نیز تعادل پیشرفت است. عدد R، نسبت مواد هضم شده (الوین) به مواد متبلور شده (آمفیبول) را مشخص می‌کند.

Figure 7. Binary variation diagrams showing variation of Ni and Co versus Ti in the melts in equilibrium with brown, light brown and green amphiboles. Two trends in the diagrams are showing the variation trends that are produced by fractional crystallization (FC) and AFC processes. The starting composition corresponds to average composition of the brown amphibole. Variations observe in the composition of amphiboles correspond to the variations that AFC produce. The length of the trends corresponds to 90% progress in the FC or AFC processes except the length of the FC trend in the Ni versus Ti diagram that corresponds to 50% progress in amphibole fractionation. R values are relative ratios of assimilated olivine to crystallized amphibole in the AFC modelings. Olivine composition is after Esna-Ashari et al. (2016).

۶-۲- ماهیت مذاب در تعادل با آمفیبول‌ها

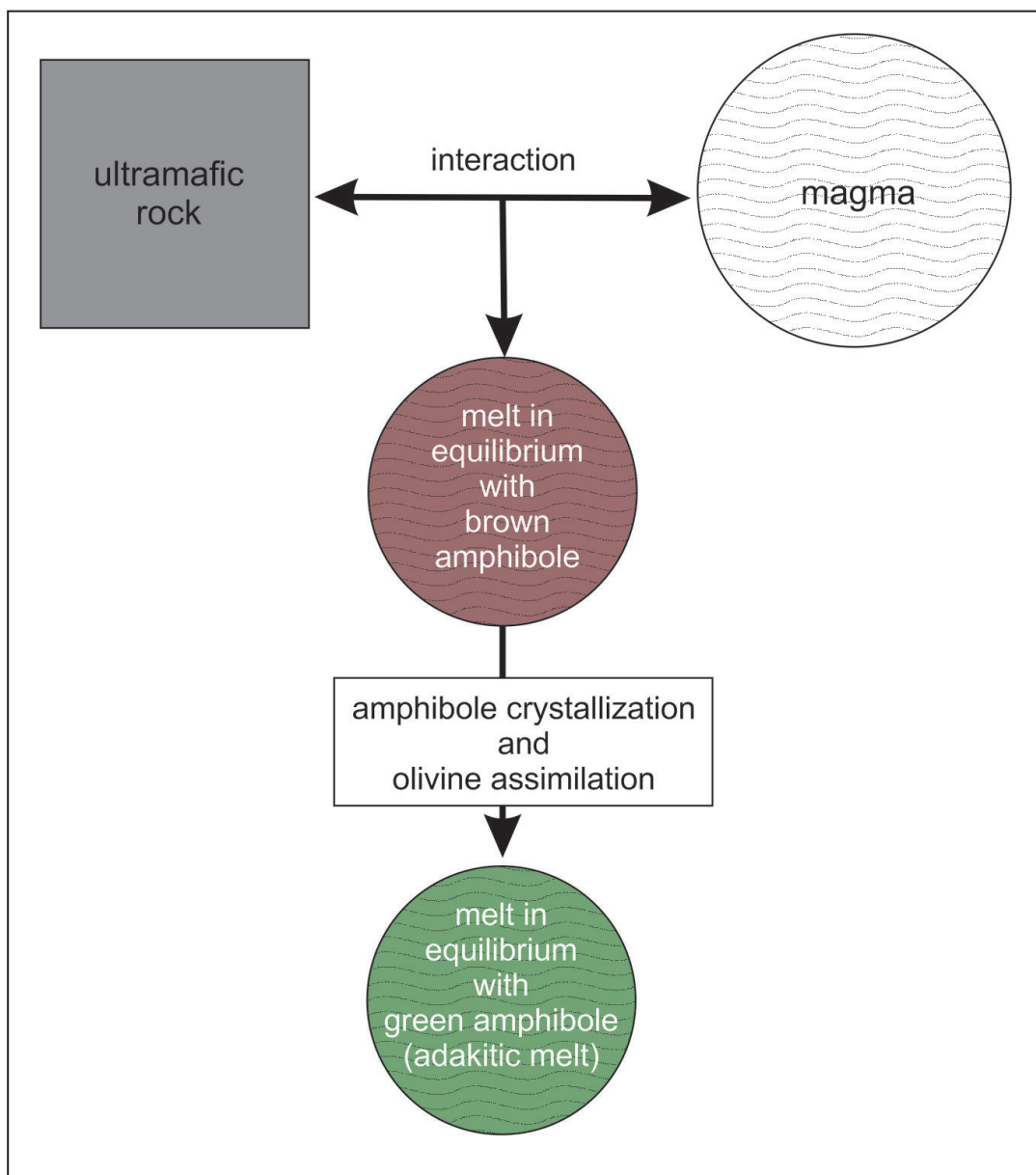
پیوسته را از محدوده ADR به سمت سنگ‌های آداسیتی ایجاد می‌کنند. سنگ‌های آداسیتی مجموعه ملایر-بروجرد (Zhang et al., 2018) نیز در امتداد این روند هستند و به همراه مذاب در تعادل با آمفیبول‌های سیز در محدوده آداسیت‌ها قرار می‌گیرند. بنابراین به استناد این شکل و همچنین دیگر تشابهات شیمیایی که بین مذاب مادر آمفیبول سیز و سنگ‌های آداسیتی وجود دارد (شکل ۵) می‌توان فرایند تشکیل سنگ‌های آداسیتی و آمفیبول سیز را مشابه در نظر گرفت. به عبارت دیگر به نظر می‌رسد که همانند مجموعه آداملو در ایتالیا (2011) (Tiepolo et al., 2011)، در مجموعه ملایر-بروجرد نیز تبلور آمفیبول و هضم الیون عاملی برای تشکیل مذابی با ویژگی‌های مشابه با سنگ‌های آداسیتی بوده است. این موضوع با اظهارات ژانگ (Zhang et al., 2018) در مورد نقش تبلور بخشی یک ماقمای اولیه بازیک تر در ژنر سنگ‌های آداسیتی مجموعه ملایر-بروجرد در تطابق است. شکل ۹ تصویر نمادین است که به صورت خلاصه روند تحولی ماقمای اولیه که سبب تشکیل سنگ‌های آداسیتی شده است را نشان می‌دهد. برهمنکش ماقمای اولیه با سنگ الترامافیک منجر به تشکیل مذاب در حال تبلور آمفیبول بوده (رشد آمفیبول‌های اولیه)، الیون‌های موجود در سنگ الترامافیک را هم در خود هضم کرده است. تبلور آمفیبول و هضم الیون منجر به تغییر ترکیب ماقمای اولیه و تشکیل ماقمای جدیدی شده است که از تبلور آن آمفیبول سیز حاصل شده است. این ماقمای نهایی از لحاظ ترکیبی بسیار شبیه به سنگ‌های آداسیتی است.

ترکیب شیمیایی مذاب در تعادل با آمفیبول سیز در نمودار چند عنصری شکل ۵ نشان داده شده است. همان‌طور که ملاحظه می‌شود ترکیب شیمیایی این مذاب شباهت زیادی با سنگ‌های آداسیتی مجموعه ملایر-بروجرد دارد. بنابراین تحولات ماقمایی، که در بخش پیشین به آن اشاره شد سبب تشکیل مذابی با ماهیت آداسیتی (مذاب در تعادل با آمفیبول سیز) شده است که با سنگ‌های آداسیتی مجموعه ملایر-بروجرد بسیار شبیه است. پس می‌توان مشاهده کرد آنها در نظر گرفت. آداسیت‌ها از لحاظ سنگنگاری و شیمی عناصر اصلی بسیار متنوع بوده و شبیه دیگر ماقمای اکمازی کمانی هستند. تفکیک آنها از ماقمای اکمازی عمومی نواحی کمان به کمک شیمی عناصر کمیاب است به طوری که در آداسیت‌ها نسبت Y/Sr بالا و لی فراوانی Z پایین‌تر است (Castillo, 2006 and 2012). بنابراین ابزار شناخته شده مهمی که برای شناسایی آداسیت‌ها مورد استفاده قرار می‌گیرد نمودار Sr/Y در برابر Z است و به کمک آن می‌توان آداسیت‌ها را از دیگر سنگ‌های نواحی کمان ماقمایی تفکیک کرد (شکل ۸). سنگ‌های معمول کمان‌های ماقمایی به طور عمده در محدوده ADRs (Andesites, Dacites, Rhyolites) ADRs می‌گیرند ولی در برخی از کمان‌ها یک روند پیوسته از محدوده ADR به سمت آداسیت دیده می‌شود و در چنین مواردی احتمالاً تمامی سنگ‌ها، مربوط به یک سری ماقمایی هستند (Castillo, 2006). در شکل ۸ ترکیب شیمیایی سنگ‌های آداسیتی مجموعه ملایر-بروجرد به همراه مذاب در تعادل با انواع مختلف آمفیبول‌ها نشان داده شده است. همان‌طور که ملاحظه می‌شود نمونه‌های مورد بررسی یک روند



شکل ۸- نمودار دو متغیره Y در برابر Sr/Y (Castillo, 2012) که برای تعابز سنگ‌های آدکیتی از دیگر سنگ‌های معمول کمان‌های ماگمایی مورد استفاده قرار می‌گیرد. مذاب در تعادل با آمفیبول سبز در محدوده سنگ‌های آدکیتی و مذاب در تعادل با دیگر بخش‌های آمفیبول در محدوده سنگ‌های معمول نواحی کمان ماگمایی قرار می‌گیرند. سنگ‌های آدکیتی ملایر- بروجرد نیز برای مقایسه در این نمودار نمایش داده شده است.

Figure 8. Sr/Y versus Y diagram to discriminate adakitic rocks from typical magmatic arc rocks. The melt in equilibrium with green amphibole plot in the field of adakitic rocks but the melts in equilibrium with brown and light brown amphiboles plot in the field of normal arc lavas. MBPC adakitic rocks are plotted for comparison.



شکل ۹- طرح نمادین که خاستگاه و نحوه تکامل بلورهای آمفیبیول موجود در سنگ‌های الترامافیک را نشان می‌دهد. نفوذ ماغمای فلسیک به درون سنگ الترامافیک و برهم کنش با آن منجر به تشکیل ماغمای جدیدی شده که آمفیبیول قهقهه‌ای را درون سنگ میزبان می‌بلور کرده است. تداوم تبلور آمفیبیول منجر به رشد آمفیبیول اولیه شده و این فرایند با هضم بلورهای الیوین موجود در سنگ الترامافیک همراه بوده است. تبلور آمفیبیول و هضم الیوین سبب تشکیل ماغمای جدیدی شده که ترکیب مشابه با مذاب‌های آداسیتی دارد و منجر به تبلور آخرين بلورهای آمفیبیول شده که رنگ سبز دارند و حاشیه آمفیبیول‌های قهقهه‌ای اولیه را پوشانده‌اند.

Figure 9. Schematic diagram showing the origin and evolution of the amphiboles in the ultramafic rock. Intrusion of felsic magma into the ultramafic rock and subsequent interaction caused formation of a new magma that crystallized brown amphibole in the host ultramafic rock. Continuous crystallization of amphibole caused amphibole to grow larger. Amphibole growth was associated with the assimilation of olivines. Crystallization of amphibole and assimilation of olivine caused formation of a new magma that crystallized green amphiboles as the rims surrounding the earlier formed amphiboles. This new magma has the same chemical composition as the adakitic melts.

۷- نتیجه‌گیری

نحوه شکل‌گیری سنگ‌های آداسکیتی مجموعه ملایر- بروجرد بسیار شبیه به نحوه تشکیل آمفیبول‌های سبز در سنگ‌های الترامافیکی است که در مجاورت این مجموعه قرار دارند. بخش مرکزی این آمفیبول‌ها قوه‌های رنگ است و به سمت حاشیه، رنگ و ترکیب شیمیایی به صورت تدریجی تغییر می‌کند. آمفیبول‌های قوه‌های از ماگماهای متبلور شده‌اند که در ابتدا ترکیب فلزیک داشته و پس از نفوذ به درون سنگ الترامافیک و برهم کش با آن ماهیت آن تا حدودی تغییر یافته است. رشد آمفیبول اولیه منجر به تغییر ترکیب شیمیایی ماگماهای باقیمانده شده است. بلورهای آلوین هم در حین تبلور آمفیبول درون ماگماهای متبلور شده‌اند. این عوامل باعث شده تا ماگماهای نهایی که باعث تبلور آمفیبول‌های سبز شده، ویژگی‌های مشابه با مذاب آداسکیتی باشد. مقایسه این ماگما با سنگ‌های آداسکیتی ملایر- بروجرد نشان داد که ترکیب شیمیایی مشابهی دارند. بنابراین می‌توان خاستگاه یکسانی را برای آنها در نظر گرفت. ترکیب شیمیایی ماگماهای تشکیل‌دهنده آمفیبول سبز یا همان سنگ‌های آداسکیتی، شبیه به آندزیت‌های غنی از منزیزم است و این موضوع دلیلی بر اهمیت مطالعه این سنگ‌ها می‌باشد زیرا چنین مطالعاتی منجر به شناخت بهتر تحولات پوسته زمین در نواحی کمان می‌شود و در مقیاس وسیع تر به نحوه شکل‌گیری پوسته زمین کمک می‌کند.

۸- سپاسگزاری

بخشی از هزینه‌های این پژوهش توسط معاونت پژوهشی دانشگاه پیام نور تأمین شده است که بدین‌وسیله از این معاونت قدردانی به عمل می‌آید. از سردبیر گرامی، همچنین جناب آقای دکتر جمشید حسن‌زاده و داوران محترمی که با ارائه نقطه نظرات سازنده، باعث ارتقای سطح کیفی این مقاله شده‌اند نهایت تشکر و قدردانی خود را اعلام می‌داریم.

۶-۳- آندزیت‌های غنی از منزیزم و اهمیت آنها در بخش میانی نوار سندنج- سیرجان

مقدار سیلیسم در سنگ‌های آداسکیتی مجموعه ملایر- بروجرد تا مقادیر ۵۵٪ تنزل یافته است و عدد منزیزم آنها نیز تا ۵۴ می‌رسد. به باور کاستیو (Castillo, 2012) سنگ‌های آداسکیتی که سیلیسم کم و منزیزم بالای دارند از لحاظ شیمیایی شبیه به برخی از آندزیت‌های غنی از منزیزم نوع بونینیتی و سان‌کیتوییدی هستند و شرایط تشکیل مشابه با آنها دارند. دو فرایند برای تشکیل این گروه از سنگ‌های آداسکیتی در نظر گرفته شده است که عبارتند از ۱- ذوب پوسته اقیانوسی فرورونده و برهم کشش مذاب حاصل از آن با پریدوتیت‌های گوشته‌ای (Castillo, 2012) و ۲- برهم کشش یک ماگماهای اولیه بازالتی با سنگ الترامافیک، هضم یوین و تبلور همزمان آمفیبول (Tiepolo et al., 2011). در هر دوی این فرایندها نقش سنگ‌های الترامافیک در ژنر سنگ‌های آداسکیتی غیر قابل انکار است. برای تشکیل سنگ‌های آداسکیتی دسته دوم نیازی به فشارهای بالا نیست و این اتفاق در ژرفاهایی که محل تشکیل ماگماهای معمول کمان‌های ماگماهی است، رخ می‌دهد.

مطالعات گذشته در بخش میانی نوار سندنج- سیرجان نقش سنگ‌های الترامافیک را در تشکیل دیگر سنگ‌های با ماهیت آندزیت‌های غنی از منزیزم نشان داده است (Esna-Ashari et al., 2016; Esna-Ashari and Tiepolo, 2020) نشان داد که چگونه سنگ‌های الترامافیک در تشکیل نوع دیگری از آندزیت‌های غنی از منزیزم یعنی سنگ‌های آداسکیتی نقش ایفا کرده‌اند.

دلیل اهمیت آندزیت‌های غنی از منزیزم شباهت زیاد آنها با ترکیب میانگین پوسته زمین است. به همین دلیل پژوهشگران زیادی برای تعیین منشأ پوسته زمین به مطالعه این سنگ‌ها روی آورده‌اند (e.g. Kelemen, 1995). بنابراین وجود چنین سنگ‌هایی در بخش میانی نوار سندنج- سیرجان می‌تواند زمینه ساز مطالعات و تحقیقات گسترده‌تری در این منطقه باشد.

کتابنگاری

- آفاناتی، ع.، ۱۳۷۰، نقشه سنگ‌های ماگماهی ایران، مقیاس ۱:۲۵۰۰۰۰، وزارت معادن و فلات.
- اثنی عشری، ا. و حسن‌زاده، ج.، ۱۳۹۳، ماگماتیسم قوسی در بخش میانی نوار سندنج- سیرجان (غرب ایران) و روابط ژئوشیمیایی حاکم بر گراینتوییدهای این منطقه، فصلنامه زمین‌شناسی ایران، تابستان ۱۳۹۳، سال هشتم، شماره ۳۰، ص ۸۵-۹۶.
- .<http://geology.saminatech.ir/fa/Article/9361>
- اثنی عشری، ا.، یه‌پولو، م. و قربانی، ق.، ۱۳۹۹، سنگ‌زایی کوارتز دبوریت بروجرد بر پایه زمین‌شیمی عناصر اصلی و کمیاب کانی‌های پیروکسین و آمفیبول، مجله بلورشناسی و کانی‌شناسی ایران، سال بیست و هشتم، شماره ۴، ص ۸۵-۹۶.
- .<https://ijcm.ir/article-1-1.1022-1.1564-fa.html>
- اثنی عشری، ا. و سرجوقیان، ف.، ۱۳۹۵، خاستگاه یوین در سنگ‌های الترامافیک منطقه ملاطاب و نقش یوین در سیر تحولی ماگما، مجله بلورشناسی و کانی‌شناسی ایران، سال بیست و چهارم، شماره ۱، ص ۱۵۴-۱۴۵.
- .<https://ijcm.ir/article-1-1.html>
- اثنی عشری، ا. و سرجوقیان، ف.، ۱۳۹۶، سنگ‌های الترامافیک در بخش میانی نوار سندنج- سیرجان و نقش آنها در ارزیابی شرایط فیزیکو‌شیمیایی زمان آغاز فرورانش، پترولوزی، سال هشتم، شماره ۳۲، ص ۶۶-۴۵.
- .https://ijp.ui.ac.ir/article_22393.html?lang=fa
- اسدی آورگانی، م.، رضابی کهنه‌خایی، م. و قاسمی، ح.، ۱۳۹۸، سنگ‌شناسی و زمین‌شیمی داسیت‌های آداسکیتی کالدرای نوژن قره‌چای، جنوب خاور قرچان، فصلنامه علمی علوم زمین، اسفند ۱۳۹۸، سال بیست و نهم، شماره ۱۱۴، ص ۲۴۱-۲۵۰.
- .https://www.gsjournal.ir/article_102920.html

References

- Ahmadi Khalaji, A.A., Esmaeily, D., Valizadeh, M.V., and Rahimpour-Bonab, H., 2007. Petrology and geochemistry of the granitoid complex of Boroujerd, Sanandaj-Sirjan Zone, Western Iran, Journal of Asian Earth Sciences, 29, 859- 877.
- Atherton, M.P., and Petford, N., 1993. Generation of sodium-rich magmas from newly underplated basaltic crust, Nature, 362, 144-146.
- Berberian, F., and Berberian, M., 1981. Tectono-plutonic episodes in Iran. In: Gupta, H.K., Delany, F.M. (eds) Zagros-Hindu Kush-Himalaya Geodynamic Evolution. American Geophysical Union, Geodynamics Series, 3, pp. 5-32.
- Castillo, P.R., 2006. An overview of adakite petrogenesis, Chinese Science Bulletin, 51(3), 257-268. <https://doi.org/10.1007/s11434-006-0257-7>.

- Castillo, P.R., 2012. Adakite petrogenesis, *Lithos*, 134- 135, 304- 316.
- Davidson, J., Turner, S., Handley, H., Macpherson, C., and Dosseto, A., 2007. Amphibole ‘sponge’ in arc crust?, *Geology*, 35, 787-790.
- Deevsalar, R., Shinjo, R., Ghaderi, M., Murata, M., Hoskin, P.W.O., Oshiro, S., Wang, K.L., Lee, H.Y., and Neill, I., 2017. Mesozoic- Cenozoic mafic magmatism in Sanandaj-Sirjan Zone, Zagros Orogen (Western Iran): Geochemical and isotopic inferences from Middle Jurassic and Late Eocene gabbros, *Lithos*, 284- 285 ,588-607.
- Defant, M.J., and Drummond, M.S., 1990. Derivation of some modern arc magmas by melting of young subducted lithosphere, *Nature*, 347, 662—665.
- Dorais, M., and Tubrett, M., 2008. Identification of a subduction zone component in the Higganum dike, Central Atlantic Magmatic Province: A LA-ICPMS study of clinopyroxene with implications for flood basalt petrogenesis, *Geochemistry Geophysics Geosystems*, 9, 1-13.
- Esna-Ashari, A., and Tiepolo, M., 2020. Petrogenesis of gabbroic rocks from the Malayer plutonic complex (Sanandaj-Sirjan zone, west Iran), *Periodico di Mineralogia*, 89, 91- 104.
- Esna-Ashari, A., and Tiepolo, M., 2021. Reply to Deevsalar and Shinjo (2020) comments on “Petrogenesis of gabbroic rocks from the Malayer plutonic complex, Sanandaj-Sirjan zone, west Iran” (Esna-Ashari and Tiepolo, *Periodico di Mineralogia* 89, 91-104, 2020), *Periodico di Mineralogia*, 90, 211- 215.
- Esna-Ashari, A., Tiepolo, M., Valizadeh, M.V., Hassanzadeh, J., and Sepahi, A.A., 2012. Geochemistry and zircon U-Pb geochronology of Aligoodarz granitoid complex, Sanandaj-Sirjan Zone, Iran, *Journal of Asian Earth Sciences*, 43, 11- 22.
- Esna-Ashari, A., Tiepolo, M., and Hassanzadeh, J., 2016. On the occurrence and implications of Jurassic primary continental boninite-like melts in the Zagros orogen, *Lithos*, 258- 259, 37- 57.
- Kelemen, P.B., 1995. Genesis of high Mg-number andesites and the continental crust, *Contributions to Mineralogy and Petrology*, 120, 1- 19.
- Kelemen, P.B., Joyce, D.B., Webster, J.D., and Holloway, J.R., 1990. Reaction between ultramafic rock and fractionating basaltic magma. Experimental investigation of reaction between olivine tholeiite and harzburgite at 1150-1050°C and 5 kb, *Journal of Petrology*, 31, 99-134.
- Qian, Q., and Hermann, J., 2010. Formation of high-Mg diorites through assimilation of peridotite by monzodiorite magma at crustal depths, *Journal of Petrology*, 51, 1381- 1416.
- Qu, X.-M., Hou, Z. Q., and Li, Y. G., 2004. Melt components derived from a subducted slab in late orogenic ore-bearing porphyries in the Gangdese copper belt, southern Tibetan plateau, *Lithos*, 74, 131- 148.
- Rollinson, H., and Martin, H., 2005. Geodynamic controls on adakite, TTG and sanukitoid genesis: implications for models of crust formation, introduction to the special issue, *Lithos*, 79, ix-xii.
- Tiepolo, M., Oberti, R., Zanetti, A., Vannucci, R., and Foley, S.F., 2007. Trace-element partitioning between amphibole and silicate melt, *Reviews in Mineralogy and Geochemistry*, 67, 417- 452.
- Tiepolo, M., Tribuzio, R., and Langone, A., 2011. High-Mg Andesite Petrogenesis by Amphibole Crystallization and Ultramafic Crust Assimilation: Evidence from Adamello Hornblendites (Central Alps, Italy), *Journal of Petrology*, 52, 1011- 1045.
- Wang, Q., McDermott, F., Xu, J.F., Bellon, H., and Zhu, Y.T., 2005. Cenozoic K-rich adakitic volcanic rocks in the Hohxil area, northern Tibet: lower-crustal melting in an intracontinental setting, *Geology*, 33, 465-468.
- Yogodzinski, G.M., and Kelemen, P.B., 1998. Slab melting in the Aleutians: Implication of an ion probe study of clinopyroxene in primitive adakite and basalt, *Earth and Planetary Science Letters*, 158, 53- 65.
- Yumul, Jr. G.P., Dimalanta, C.B., Faustino, D.V., and De Jesus, J.V., 1999. Silicic arc volcanism and lower crust melting: an example from the central Luzon, Philippines, *Journal of Geology*, 154, 13- 14.
- Zhang, Z., Xiao, W., Ji, W., Majidifard, M.R., Rezaeian, M., Talebian, M., Xiang, D., Chen, L., Wan, B., Ao, S., and Esmaeili, R., 2018. Geochemistry, zircon U-Pb and Hf isotope for granitoids, NW Sanandaj- Sirjan zone, Iran: Implications for Mesozoic-Cenozoic episodic magmatism during Neo-Tethyan lithospheric subduction, *Gondwana Research*, 62, 227- 245.